

BAB III

ASPEK PROGRAMASI METODE REP DENGAN UI-FEAP

3.1 UMUM

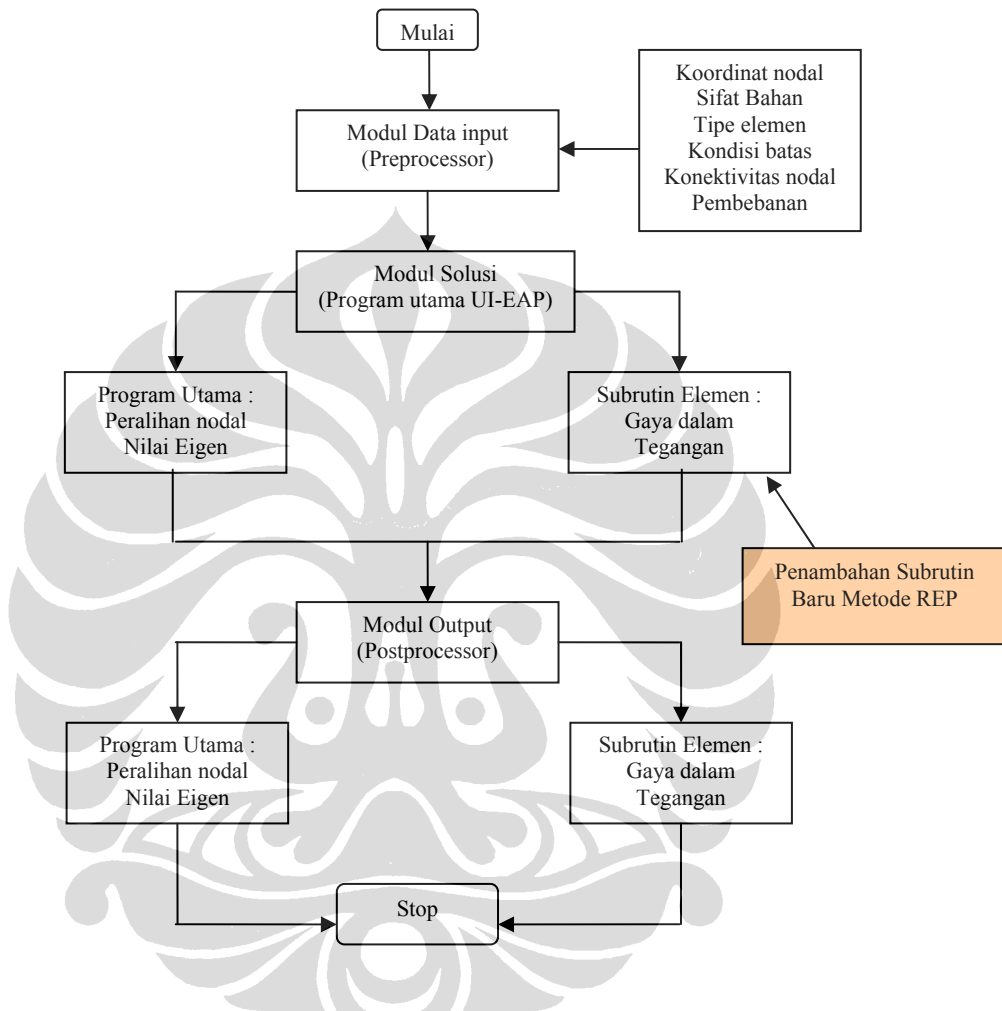
Implementasi teknik pemulihan gaya dalam REP pada UI-FEAP akan dijelaskan dalam bab ini. Implementasi ini dilakukan dengan memodifikasi subroutin yang ada didalam UI-FEAP. Penjelasan dalam bab ini sebagian besar disampaikan dalam bentuk bahasa pemograman Fortran dengan disertai gambaran singkat.

3.2 MODIFIKASI SUBRUTINE UI-FEAP

Implementasi metode REP pada program UI-FEAP merupakan sebuah modifikasi pada paket program UI-FEAP yang perlu dilakukan untuk menunjang kegiatan penelitian kali ini. Implementasi ini bersifat *user based solution program* yang artinya implementasi tersebut tidak melibatkan modifikasi struktur baku UI-FEAP secara signifikan dan dapat dimodifikasi lebih lanjut tanpa mengganggu struktur program yang dibuat oleh *user* lain.

Seperti yang sudah dijelaskan sebelumnya bahwa UI-FEAP melibatkan tiga modul dalam melakukan proses komputasi metode elemen hingga (lihat Gambar 4.1). Dalam implementasi metode REP ini, dilakukan modifikasi pada UI-FEAP pada bagian modul solusi. Oleh karena dalam penelitian kali ini metode REP digunakan pada elemen DKMQ [K2] maka modifikasi program yang dilakukan masih terbatas pada elemen tersebut atau elemen quadrilateral lainnya yang sederajat. *Selain itu, karena prosedur REP pada dasarnya sama dengan prosedur SPR yang sudah dibuat oleh peneliti terdahulu, maka banyak subrutin-subrutin SPR yang digunakan*

dengan atau tanpa modifikasi. Penjelasan mengenai subrutin-subrutin yang dimodifikasi maupun yang baru dapat dilihat pada Subbab 4.2.2.



Gambar 3.1 Modifikasi secara umum yang dilakukan pada UI-FEAP untuk aplikasi metode REP

3.2.1 Daftar Subrutin Terkait Dengan Error Estimator dan Metode REP

Pada Tabel dibawah ini akan ditampilkan nama-nama subrutin beserta fungsinya yang berkaitan dengan implementasi metode REP pada elemen DKMQ [K2], formulasi estimasi error, beserta fungsinya.

| Nama subrutin | Fungsi | Keterangan |
|----------------------|--|-------------------|
| ELMT04 | Subrutin elemen pelat DKMQ [K2] | - |
| LUMP | Menghitung matriks massa tergumpal dengan bilinear shape function $\langle N_i \rangle$ | - |
| LUMPQU | Menghitung matriks massa tergumpal dengan quadratik shape function $\langle N_w \rangle$ | - |
| LUMPCU | Menghitung matriks massa tergumpal dengan cubic shape function $\langle N_w \rangle_\xi$ | - |
| GEOME | Menghitung koefisien matriks Jacobian | - |
| Hooke | Menghitung matriks Hooke bending $[H_b]$ dan shear $[H_s]$ | - |
| ANDKMQ | Menghitung matriks $[A_n]$ | - |
| FEDKMQ | Menghitung vektor beban nodal ekuivalen untuk fungsi linear, kuadratik, dan kubik | - |
| STFVKE | Menghitung matriks kekakuan elemen $[k] = [k_b] + [k_s]$ dengan integrasi numerik 2x2 titik Gauss | - |
| NIQUAD | Menghitung turunan pertama bilinear shape function $\langle N \rangle$ terhadap sumbu koordinat natural ξ, η | - |
| PIQUAD | Menghitung turunan pertama quadratic shape function $\langle P \rangle$ terhadap sumbu koordinat natural ξ, η | - |
| JACOBQ | Menghitung koefisian matriks invers Jacobian $[j]$ | - |
| JACOBN | Menghitung determinan matriks Jacobian $ J $ | |
| STFVKB | Menghitung matriks kekakuan lentur $[k_b]$ | - |
| BBDKMQ | Menghitung matriks $[B_b]$ | - |
| BBBDKMQ | Menghitung matriks $[B_{b\beta}]$ | - |
| BBADKMQ | Menghitung matriks $[B_{b\Delta\beta}]$ | - |
| STFVKS | Menghitung matriks kekakuan geser $[k_s]$ | - |
| BSDKMQ | Menghitung matriks $[B_s]$ | - |
| BSADKMQ | Menghitung matriks $[B_{s\Delta\beta}]$ | - |
| DEFCG | Output nilai kurvatur pada titik tengah elemen | - |
| DEFMID | Output nilai kurvatur pada titik tengah sisi elemen | - |
| DEFNO | Output nilai kurvatur pada titik nodal elemen | - |
| EFFCG | Output nilai gaya dalam pada titik tengah elemen | - |
| EFFMID | Output nilai gaya dalam pada titik tengah sisi elemen | - |

| | | |
|-------------------|--|-------------------|
| EFFNO | Output nilai gaya dalam pada titik nodal elemen | - |
| SHFUNC | Menghitung bilinear shape function $\langle N \rangle$ dan quadratik shape function $\langle P \rangle$ | - |
| NoForDKMQ_1 | Menghitung pemulihan gaya dalam dengan metode rata-rata langsung dan menghitung energi regangan FEM tingkat lokal $\ u^h\ _i^2$ dan global $\ u^h\ ^2$ | - |
| NoForDKMQ_2 | Menghitung pemulihan gaya dalam dengan metode proyeksi $[P]$, $\int_A \langle N \rangle \{M^h\} dA$, $\int_A \langle N \rangle \{T^h\} dA$, dan menghitung energi regangan FEM tingkat lokal $\ u^h\ _i^2$ dan global $\ u^h\ ^2$ | - |
| NoForDKMQ_3 | Menghitung pemulihan gaya dalam dengan metode SPR dan REP dan menghitung energi regangan FEM tingkat lokal $\ u^h\ _i^2$ dan global $\ u^h\ ^2$ | <i>Modifikasi</i> |
| INVHB | Menghitung invers matriks $[H_b]$ | - |
| INVHS | Menghitung invers matriks $[H_s]$ | - |
| ERRORESTIMATOR | Menghitung norma energi tingkat lokal $\ e^*\ _i^2$ dan global $\ e^*\ ^2$ serta perhitungan indikator penghalusan elemen ζ_k | - |
| FRCNO | Menghitung gaya dalam pada titik nodal elemen | - |
| FRCGA | Menghitung gaya dalam pada titik Gauss elemen | - |
| UMACR0 | Subrutin <i>user command language</i> sebagai pendukung untuk perhitungan pemulihan gaya dalam | - |
| COUNT_L_AT_NODES | Menghitung jumlah elemen yang tergabung pada tiap nodal struktur | - |
| EL_NEIGH | Mencatat nomer-nomer elemen yang tergabung pada tiap nodal struktur | - |
| COUNT_THE_PATCH_1 | Membentuk patch menggunakan metode <i>Nodal Based Patch</i> | - |
| COUNT_THE_PATCH_2 | Membentuk patch menggunakan metode <i>Element Based Patch</i> | - |
| COR | Mentransformasi koordinat riil ke dalam koordinat natural patch | - |
| PATCHING | Menghitung koordinat riil titik Gauss tiap elemen | - |
| REP_RECOVERY | Menghitung matriks $[D]$ dan $\{F^h\}$, menghitung matriks $\{a_n\}$, menghitung pemulihan gaya dalam pada nodal berdasarkan persamaan untuk tiap komponen gaya dalam | <i>Baru</i> |
| UMACR2 | Melakukan proses pemilihan teknik pemulihan gaya dalam. Menghitung error ijin elemen e_m , mencetak error norma energi elemen $\ e^*\ _i^2$ dan struktur $\ e^*\ ^2$, menghitung serta | <i>Modifikasi</i> |

| | | |
|-----------------|--|------|
| | mencetak indikator error relatif struktur ϕ^* | |
| UALLOC | Mengalokasikan memori untuk user dalam menggunakan variabel yang digunakan. | - |
| getP | Menghitung matriks $\langle P \rangle$ | Baru |
| Geohookean1 | Mendapatkan koordinat x dan y titik nodal dalam satu elemen, menghitung koefisien matriks Jacobian, menghitung matriks Hooke, menghitung matriks $[A_n]$ pada elemen dalam patch | Baru |
| getB | Menghitung matriks $[B_b]$ dan $[B_s]$ pada titik Gauss dalam patch | Baru |
| getMih | Mendapatkan gaya dalam hasil solusi | Baru |
| getMih | Mendapatkan gaya dalam hasil solusi | Baru |
| COUNT_THE_PATCH | Membentuk patch menggunakan metode Element Interface Based Patch | Baru |

Semua subrutin yang disebutkan pada Tabel diatas, khususnya untuk jenis subrutin lama, tidak akan dibahas semuanya namun hanya subrutin-subrutin baru yang terkait dengan teknik pemulihan gaya dalam metode REP. Untuk penjelasan subrutin mengenai error estimasi Z^2 pada UI-FEAP serta subrutin DKMQ [K2] sudah tersedia banyak dokumentasi tentang itu dan salah satunya dapat dilihat pada daftar referensi [H3],[M2].

Demikian juga, karena prosedur perhitungan dengan metode REP sebenarnya sama dengan perhitungan dengan metode SPR, maka banyak subrutin-subrutin yang digunakan dalam metode SPR yang juga dipakai dalam metode REP. Kesamaannya adalah pada pembentukan patch, serta penghitungan koordinat riil dan transformasinya ke koordinat natural patch. Subrutin-subrutin Count_The_Patch1, Count_The_Patch2, Cor, dan Patching dipakai di metode REP ini tanpa modifikasi, dan karena itu tidak akan dibahas lagi di sini.

3.2.2 Penjelasan Kode Fortran Subrutin REP

Berikut ini adalah penjelasan singkat mengenai kode Fortran pada subrutin teknik pemulihan gaya dalam REP. Struktur lengkap dari subrutin REP dan contoh detail proses REP dapat dilihat pada bagian lampiran. Penjelasan akan dititikberatkan pada ungkapan-ungkapan aritmatik,

sedangkan untuk parameter array tidak akan dijelaskan semuanya. Penjelasan subrutin ini akan mengikuti langkah-langkah sebagai berikut :

- Mengalokasi memori untuk array-array yang terpakai untuk komputasi metode REP
- Membuat database patch yaitu jumlah elemen dan nomor elemen yang tergabung pada tiap struktur, kemudian menghitung jumlah patch yang dapat dibentuk pada suatu mesh elemen yang diberikan, jumlah elemen serta nodal di dalam setiap patch yang sudah dibentuk, dan domain dari tiap patch
- Melakukan komputasi gaya dalam pada tiap nodal dengan metode REP

3.2.2.1 Mengalokasi Memori Array-array REP

Karena prosedur metode REP sebagian besar sama dengan metode SPR, array-array yang diperlukan dalam penyusunan subrutin REP adalah array-array yang sama dengan yang digunakan untuk metode SPR. Karena itu, penulis hanya memodifikasi program yang sudah dibuat peneliti terdahulu untuk mengakomodasi option REP.

Perintah-perintah makro tersebut ditulis pada subrutin berikut ini :

```
subroutine umacr2(lct,ctl,pnt)
```

KODE FORTRAN :

```
c      Set command word
      if(pcomp(uct,'mac2',4)) then
          uct = 'ssrm'
      elseif (pcomp(lct,'aver',4)) then
          ES = 1
          write (*,990)
          write (*,991)
990      format ('Setting to Averaging Method on Nodal
Stress/Strain')
991      format ('Please run stre,node,1,last nodal again')
          return
      elseif (pcomp(lct,'proj',4)) then
          ES = 0
          write (*,992)
          write (*,993)
992      format ('Setting to Projection Method on Nodal
Stress/Strain')
```

SPR atau REP

```

993      format ('Please run stre,node,1,last nodal again')
         return
      elseif (pcomp(lct,'scpr',4) .or. pcomp(lct,'rep',4)) then
!       write (*,*)
!       if (pcomp(lct,'scpr',4)) then
!          ES = 2
!          write (*,*) 'Setting to SPR Method on Nodal Stress/Strain'
      else
        ES = 3
        write (*,*) 'Setting to REP Method on Nodal Stress/Strain'
      endif
      write (*,*)
      setvar=ualloc(19,'DUM19',numnp,1)
      setvar=ualloc(2,'DUMM2',5*numnp,1)
      setvar=ualloc(20,'DUM20',numnp,2)
      setvar=ualloc(21,'DUM21',numnp,2)
      setvar=ualloc(22,'DUM22',numnp,2)
      setvar=ualloc(23,'DUM23',numnp,2)
      setvar=ualloc(25,'DUM25',numnp*numel,1)
      setvar=ualloc(26,'DUM26',numnp,1)
      setvar=ualloc(27,'DUM27',numnp*numnp,1)
      setvar=ualloc(24,'DUM24',1,1)
      setvar=ualloc(28,'DUM28',numnp,2)
      setvar=ualloc(29,'DUM29',6*6,2)
89      write(*,*) 'ELEMENT BASED PATCH OR NODAL BASED PATCH
(EBP/NBP) ? '
         read(*,*)k
         if (k.eq.'nbp' .or. k.eq.'NBP') then
            call Count_The_Patch1(mr(np(33)),hr(up(3)),hr(up(4))
&                         ,mr(up(19)),mr(up(2)),mr(up(24)),mr(up(25)),mr(up(26)))
&                         ,mr(up(27)),hr(up(20)),hr(up(21)),hr(up(22)),hr(up(23)))
         elseif(k.eq.'ebp' .or. k.eq.'EBP') then
99      write(*,*) 'JUST USING THE INTERFACE ELEMENT OR THE WHOLE
1SURROUNDING ELEMENT OR BACK TO PREVIOUS OPTION (IE/E/B) ? '
         read(*,*)z
         if(z.eq.'IE' .or. z.eq.'ie') then
            write(*,*) 'THE METHOD USING ONLY INTERFACE OF ELEMENT
1 HAS NOT BEEN DEVELOPED YET'
            write(*,*) 'SORRY FOR THE INCONVENIENCE'
            write(*,*)
            goto 99
         elseif(z.eq.'e' .or. z.eq.'E') then
            call Count_The_Patch2(mr(np(33)),hr(up(3)),hr(up(4))
&                         ,mr(up(19)),mr(up(2)),mr(up(24)),mr(up(25)),mr(up(26)),
&                         mr(up(27)),hr(up(20)),hr(up(21)),hr(up(22)),hr(up(23)))
         elseif (z.eq.'b' .or. z.eq.'B') then
            goto 89
         else
            write(*,*) 'PLEASE CHOOSE THE OPTION GIVEN'
            goto 99
         endif
      else
            write(*,*) 'PLEASE CHOOSE THE OPTION GIVEN'
            goto 89
      endif

```

```

!994      format(1x,'Setting to SPR Method on Nodal Stress/Strain')
          return
endif

```

PENJELASAN :

Bahasa pemograman di atas terdiri dari rangkaian logika untuk mengaktifkan beberapa perintah makro dalam UI-FEAP. Perintah makro tersebut diawali dengan kata ‘ssrm’ yang merupakan kependekan dari *smoothed stress recovery method*, kemudian diikuti dengan kata yang sesuai untuk melakukan pekerjaan tertentu. Daftar perintah makro tersebut adalah sebagai berikut :

- ‘ssrm,aver’ : melakukan perintah perhitungan gaya dalam dengan menggunakan metode rata-rata.
- ‘ssrm,proj’ : melakukan perintah perhitungan gaya dalam dengan menggunakan metode proyeksi.
- ‘ssrm,scpr’ : melakukan perintah perhitungan gaya dalam dengan menggunakan metode SPR.
- ‘ssrm,rep’ : ***melakukan perintah perhitungan gaya dalam dengan menggunakan metode REP.***
- Kemudian ditambahkan perintah logika untuk pemilihan metode *Nodal Based Patch* dan *Element Based Patc.*, *InterFaced Based Patch*

Selanjutnya, fungsi makro ‘ssrm,rep’, sama seperti ‘ssrm,scpr’ untuk metode SPR, adalah membuat database patch, yaitu :

- Menghitung jumlah elemen yang terbentuk dalam suatu patch. Array yang dialokasikan adalah *sumel*.
- Mencatat nomor elemen yang tergabung dalam suatu patch. Array yang dialokasikan adalah *nelneigh*.
- Menentukan berapa jumlah patch yang dapat dibentuk, jumlah elemen dan nodal pada tiap patch, serta domain dari tiap patch. Array yang dialokasikan adalah *eel*, *noel*, *cpatch*, *elpatch*, *nonode*, *xmin*, *xmax*, *ymin*, *ymax*.

Kode program umacr2 di atas sebenarnya sudah berfungsi dengan baik, tetapi penulis berpendapat akan lebih baik jika tidak ada screen input untuk memasukkan opsi model elemen karena hal itu akan memperlambat proses. Di samping itu, penulis juga memandang perlu struktur program yang lebih terstruktur sehingga lebih memudahkan pengembangannya di masa mendatang, misalnya untuk menambah subrutin interface based patch atau metode pemulihan gaya dalam yang lain. Karena itu, penulis membuat kode program baru yang memungkinkan input opsi metode pemulihan gaya dalam dan input opsi model patch dari file input UI-FEAP. Dalam hal ini, perintah makro ‘ssrm’ tetap dipakai, tetapi tidak harus diikuti statement metode pemulihan seperti ‘aver’, ‘proj’, dan sebagainya, karena perintah-perintah tersebut sekarang cukup ditulis dalam file input UI-FEAP. Perintah dalam file input UI-FEAP ditambahkan di belakang statement ‘DKMQ’, sehingga lengkapnya menjadi

DKMQ <metode pemulihan> <model patch>

Dengan <metode pemulihan> berupa statement ‘aver’, ‘proj’, ‘scpr’ dan ‘rep’, dan <model> berupa statement ‘nbp’, ‘ebp’, dan ‘ibp’, masing-masing untuk nodal based patch dan element based patch dan element interface based patch.

Modifikasi yang penulis lakukan untuk hal tersebut tidak hanya pada subrutin umacr2, tetapi juga sedikit pada subrutin elmt04 pada bagian pembacaan file input, yaitu seperti dalam kode program berikut:

```

...
if (pcomp(texta(ii),'Aver',4)) ES = 1
if (pcomp(texta(ii),'Proj',4)) ES = 0
if (pcomp(texta(ii),'SCPR',4)) ES = 2
if (pcomp(texta(ii),'REP',3)) ES = 3
if (pcomp(texta(ii),'NBP',3)) patchmodel = 1
if (pcomp(texta(ii),'EBP',3)) patchmodel = 2
...

```

Sedangkan dalam umacr2 sendiri, modifikasinya adalah sebagai berikut:

```
subroutine umacr2(lct,ctl,prt)
```

KODE FORTRAN :

```
c      Set command word
if(pcomp(uct,'mac2',4)) then
  uct = 'ssrm'
elseif (pcomp(lct,'pc',2)) then
  ERRORESTMODE = 2
elseif (pcomp(lct,'ui',2)) then
  ERRORESTMODE = 1
else
  Recovery_method: select case (ES)
    case (1)
      write (*,990)
      write (*,991)
990   format ('Setting to Averaging Method on Nodal Stress/Strain')
991   format ('Please run stre,node,1,last nodal again')
      return
    case (0)
      write (*,992)
      write (*,993)
992   format ('Setting to Projection Method on Nodal Stress/Strain')
993   format ('Please run stre,node,1,last nodal again')
      return
    case (2,5)
      write (*,*) 'Setting to SPR Method on Nodal Stress/Strain'
    case (3)
      write (*,*) 'Setting to REP Method on Nodal Stress/Strain'
end select Recovery_method
Superconvergent_method: select case (ES)
case (2,3,5)
  setvar=ualloc(19,'DUM19',numnp,1)
  setvar=ualloc(2,'DUMM2',5*numnp,1)
  setvar=ualloc(20,'DUM20',numnp,2)          ! xmax
  setvar=ualloc(21,'DUM21',numnp,2)          ! xmin
  setvar=ualloc(22,'DUM22',numnp,2)          ! ymax
  setvar=ualloc(23,'DUM23',numnp,2)          ! ymin
  setvar=ualloc(25,'DUM25',numnp*numel,1)    ! elpatch
  setvar=ualloc(26,'DUM26',numnp,1)          ! cpatch
  setvar=ualloc(27,'DUM27',numnp*numnp,1)    ! nonode
  setvar=ualloc(24,'DUM24',1,1)              ! nopatch
  setvar=ualloc(28,'DUM28',numnp,2)
  setvar=ualloc(29,'DUM29',6*6,2)
Patch_model: select case (patchmodel)
  case (1) ! NBP
    call Count_The_Patch1(mr(np(33)),hr(up(3)),hr(up(4))
&                      ,mr(up(19)),mr(up(2)),mr(up(24)),mr(up(25)),mr(up(26)))
&                      ,mr(up(27)),hr(up(20)),hr(up(21)),hr(up(22)),hr(up(23)))
  case (2) ! EBP
    call Count_The_Patch2(mr(np(33)),hr(up(3)),hr(up(4))
&                      ,mr(up(19)),mr(up(2)),mr(up(24)),mr(up(25)),mr(up(26)))
&                      ,mr(up(27)),hr(up(20)),hr(up(21)),hr(up(22)),hr(up(23)))
  case (3) ! IBP
    call
Count_The_Patch3(hr(np(43)),mr(np(33)),mr(up(24)),mr(up(25)))
&                      ,mr(up(27)),hr(up(20)),hr(up(21)),hr(up(22)),hr(up(23)),2)
```

```

    end select Patch_model
    return
end select Superconvergent_method
endif

```

3.2.2.2 Database Patch

Database Patch terdiri dari:

- Perhitungan jumlah elemen yang tergabung dalam suatu patch.
- Pencatatan nomor-nomor elemen yang tergabung dalam suatu patch.
- Menghitung jumlah patch yang dapat dibentuk pada suatu mesh struktur.
- Menentukan domain dari tiap2 patch
- Menentukan nomer2 nodal yang tergabung dalam tiap patch

Pembuatan database patch ini, Subrutin yang berkaitan dengan penelitian yang penulis lakukan yang menggunakan metode element interface based patch, subrutin yang digunakan adalah Count_The_Patch3 yang akan dijelaskan berikut

```

subroutine Count_The_Patch3(x,ix,nopatch,elpatch,nonode,xmax,xmin,
& ymax,ymin,jnapp)
include  'eldata.h'
include  'cdata.h'
include  'iofile.h'
include  'sdata.h'

integer
i,j,ii,jj,nopatch,jnapp,jumnapp,nelmt(numnp),nnode(numnp)

integer
ix(nenl,numel),elpatch(numnp,numel),nonode(numnp,numnp),cknode
real*8
x(ndm,numnp),xmax(numnp),xmin(numnp),ymax(numnp),ymin(numnp)

nopatch=numel
xmax=-1e20 ; xmin=1e20 ; ymax=-1e20 ; ymin=1e20
do i=1,numel      ! each patch center
  nelmt(i)=0 ; nnode(i)=0
  do j=1,numel    ! element under investigation
    jumnapp=0

```

```

do jj=1,4
  do ii=1,4
    if(ix(jj,j) == ix(ii,i)) jumnapp=jumnapp+1
  end do
end do
if(jumnapp >= jnapp)then
  nelmt(i)=nelmt(i)+1
  elpatch(i,nelmt(i))=j
  do jj=1,4
    cknodel=0
    do ii=1,nnode(i)
      if(nonode(ii,i) == ix(jj,j))then
        cknodel=1 ; exit
      endif
    end do
    if(cknode == 0)then
      nnode(i)=nnode(i)+1
      nonode(nnode(i),i)=ix(jj,j)
      xmax(i)=max(xmax(i),x(1,ix(jj,j)))
      xmin(i)=min(xmin(i),x(1,ix(jj,j)))
      ymax(i)=max(ymax(i),x(2,ix(jj,j)))
      ymin(i)=min(ymin(i),x(2,ix(jj,j)))
    endif
  end do
endif
end do
end do
call write_patch_db(nopatch,elpatch,nonode,nelmt,nnode,
& xmax,xmin,ymax,ymin)
return

end

subroutine write_patch_db(nopatch,elpatch,nonode,nelmt,nnode,
& xmax,xmin,ymax,ymin)
  include  'cdata.h'
  include  'iofile.h'

```

```

integer i,j,nopatch,elpatch(numnp,numel),nonode(numnp,numnp)
integer nelmt(numnp),nnode(numnp)
real*8 xmax(numnp),xmin(numnp),ymax(numnp),ymin(numnp)

write(iow,'(//,A,//,A,//)')'P A T C H      P R O P E R T I E
S',
&   'Patch Elements on patch'
do i=1,nopatch
    write(iow,'(i5,2x,12(i5))')i,(elpatch(i,j),j=1,nelmt(i))
end do
write(iow,'(//,A,//)')'Patch Nodes on patch'
do i=1,nopatch
    write(iow,'(i5,2x,24(i5))')i,(nonode(j,i),j=1,nnode(i))
end do
write(iow,'(//,A,//,A,//)')'Patch Domain',
&   'Patch      Xmax      Xmin      Ymax      Ymin'
do i=1,nopatch
    write(iow,'(i5,2x,4(f8.3))')i,xmax(i),xmin(i),ymax(i),ymin(i)
end do
end

```

3.2.2.3 Komputasi Gaya Dalam Nodal dengan Metode REP

Dalam subrutin komputasi gaya dalam nodal dengan metode REP banyak dilakukan pemanggilan pada subrutin lainnya untuk mendukung proses komputasi. Di sini akan dijelaskan lebih dulu subrutin-subrutin pendukung tersebut.

```
subroutine Patching(x,kj,ox,oy,su,jdet,xx,yy)
```

- - > pendukung

Subrutin ini adalah subrutin yang sama dengan yang digunakan dalam metode SPR yang berfungsi untuk menghitung koordinat riil titik Gauss yang terdapat pada setiap elemen.

$$\begin{aligned}x(\xi, \eta) &= N_1 x_1 + N_2 x_2 + N_3 x_3 + N_4 x_4 \\y(\xi, \eta) &= N_1 y_1 + N_2 y_2 + N_3 y_3 + N_4 y_4\end{aligned}$$

Koordinat riil titik Gauss tersebut diperlukan dalam penghitungan matriks $[B_b]$ dan $[B_s]$.

```
subroutine Cor(a,b,xmax,xmin,ymax,ymin,xw,yw)
```

- - > pendukung

Subrutin ini juga merupakan subrutin yang telah dibuat untuk metode SPR dan digunakan untuk melakukan transformasi koordinat riil ke dalam sistem koordinat natural patch. Tranformasi tersebut dilakukan berdasarkan persamaan berikut :

$$\begin{aligned}x &= \frac{1}{2}(1-\xi)x_{min} + \frac{1}{2}(1+\xi)x_{max} \rightarrow \xi = \frac{2x - x_{min} - x_{max}}{(x_{max} - x_{min})} \\y &= \frac{1}{2}(1-\eta)y_{min} + \frac{1}{2}(1+\eta)y_{max} \rightarrow \eta = \frac{2y - y_{min} - y_{max}}{(y_{max} - y_{min})}\end{aligned}$$

di mana kita mencari koordinat natural (ξ, η) berdasarkan koordinat riil (x, y) yang diketahui.

```
subroutine getP ( P , xw , yw ) --> pendukung
```

Subrutin ini berfungsi untuk menyusun matriks $\langle P \rangle$ sesuai persamaan 2.17. Penulis memilih membuatnya dalam subrutin tersendiri mengingat bahwa subrutin ini bisa dimanfaatkan untuk program pemulihan solusi yang lain di masa mendatang.

KODE FORTRAN :

```
P(1,1)=1
P(1,2)=xw
P(1,3)=yw
P(1,4)=xw*xw
P(1,5)=xw*yw
P(1,6)=yw*yw
P(1,7)=xw*xw*yw
P(1,8)=xw*yw*yw
Return
```

```
subroutine geohookean1(x,d,ix,el,xl) --> pendukung
```

Subrutin ini berfungsi untuk mendapatkan koordinat x dan y dari 4 nodal dalam suatu elemen. Koordinat tersebut diperlukan untuk input bagi subrutin-subrutin yang dipanggil kemudian, yaitu subrutin GEOME2, HOOKE2 dan ANDKMQ yang merupakan subrutin-subrutin yang diperlukan dalam penyusunan matriks $[B_b]$ dan $[B_s]$.

KODE FORTRAN :

```
do ii=1,2
  do jj=1,4
    xl(ii,jj)=x(ii,ix(jj,el))
  end do
end do
call GEOME2(xl)
call HOOKE2(d)
call ANDKMQ
return
```

```
subroutine getB (qsi,eta,bb,bs,B) --> pendukung
```

Subrutin ini berfungsi untuk menyusun matriks $[B_b]$ dan $[B_s]$ dalam persamaan 2.32 dan 2.33. Matriks $[B_b]$ dan $[B_s]$ ini tidak lain adalah matriks dengan persamaan yang sama dengan matriks $[B_b]$ dan $[B_s]$ dalam elemen DKMQ. Subrutin ini memanggil subrutin-subrutin DKMQ, yaitu NIQUAD, PIQUAD, JACOBQ2, BBDKMQ dan BSDKMQ yang juga sudah banyak dibahas.

KODE FORTRAN :

```
call NIQUAD(qsi,eta)
call PIQUAD(qsi,eta)
call JACOBQ2(qsi,eta)
call BBDKMQ(bb)
call BSDKMQ(bs)
do j=1,12
  do i=1,3
    B(i,j)=bb(i,j)
  end do
  do i=1,2
    B(i+3,j)=bs(i,j)
  end do
end do
return
```

```
subroutine getMih(vmx,vmy,vmxy,Txz,Tyz,i,Mih)
```

--> pendukung

Subrutin ini adalah subrutin untuk memilih gaya dalam yang aktif M_i^h dari lima gaya dalam M_x , M_y , M_{xy} , T_{xz} , dan T_{yz} .

KODE FORTRAN :

```
select case (i)
  case (1) ; Mih=vmx
  case (2) ; Mih=vmy
  case (3) ; Mih=vmxy
  case (4) ; Mih=Txz
  case (5) ; Mih=Tyz
end select
```

```
Subroutine REP_Recovery(x,d,vmx,vmy,vmxy,Txz,Tyz,kj,
nopatch,elpatch,nonode,xmax,xmin,ymax,ymin,scm,sct)
```

Subrutin ini berfungsi untuk membentuk matriks $[B_b]$ dan $[B_s]$ yang untuk selanjutnya digunakan untuk membentuk matriks $[D]$ dan matriks $\{F^h\}$. Selanjutnya dari matriks-matriks tersebut dihitung vektor $\{a_n\}$ (pers. 2.33), yang kemudian digunakan untuk menghitung nilai gaya dalam pada nodal tiap elemen. Subrutin ini akan terus dipanggil oleh subrutin NoForDKMQ_3 ketika UI-FEAP melakukan *looping* seluruh elemen untuk menghitung gaya dalam nodal struktur. Ketika melakukan *loop* tiap elemen tersebut, dilakukan pula *loop* tiap nodal pada elemen tersebut. Nodal yang ditinjau diwakili dengan nomor nodal global yang ditransfer dari subrutin NoForDKMQ_3 ke subrutin REP_Recovery melalui variabel kj.

Subrutin REP_Recovery ini akan dijelaskan tahap demi tahap. Dalam tiap tahapnya, struktur looping do keseluruhan tetap ditampilkan untuk tetap memberikan gambaran global dari keseluruhan subrutin.

KODE FORTRAN :

```
qkj=0 ; Mm=0
do j=1,nopatch           ! tiap patch
    chknod=0 ; k=1
    do while (nonode(k,j) .ne. 0)      ! tiap node dalam patch
        if (nonode(k,j) .eq. kj) then
            chknod=1 ; exit
        endif
        k=k+1
    end do
    if (chknod .eq. 1) then      ! jika node ada dalam patch
        ...
        ...
    endif
end do      ! j
```

PENJELASAN :

Kode fortran diatas berfungsi untuk melakukan proses looping terhadap seluruh patch yang sudah dibentuk oleh subrutin Count_the_patch 3.

Di sini dilakukan pengecekan pada tiap nodal dalam patch tersebut untuk mengetahui apakah nodal yang sedang ditinjau ada dalam patch tersebut. Jika nodal yang ditinjau ada dalam patch, proses dilanjutkan ke penghitungan pemulihan solusi. Jika tidak ada, looping dilanjutkan ke patch berikutnya.

KODE FORTRAN :

```
...
do j=1,nopatch           ! tiap patch
...
if (chknod .eq. 1) then    ! jika node ada dalam patch
  qkj=qkj+1
  call Cor(x(1,kj),x(2,kj),xmax(j),xmin(j),ymax(j),ymin(j),xw,yw)
  call getP(P,xw,yw)
  do i=1,5 ! tiap komponen gaya dalam (Mx, My, Mxy, Txz, Tyz)
    ...
    ...
  end do ! i
endif
end do ! j
```

PENJELASAN :

Jika nodal yang ditinjau ada dalam patch, langkah selanjutnya adalah menghitung koordinat natural patch dari nodal yang diinjau. Koordinat natural tersebut digunakan untuk membentuk matriks $\langle P \rangle$ yang nantinya, misalnya sebagai contoh, digunakan untuk menghitung persamaan $M_x = \langle P \rangle \{a_n\}$.

KODE FORTRAN :

```
...
do j=1,nopatch           ! tiap patch
...
if (chknod .eq. 1) then    ! jika node ada dalam patch
...
do i=1,5 ! tiap komponen gaya dalam (Mx, My, Mxy, Txz, Tyz)
  Hi=0 ; Fi=0 ; HtHe=0 ; HtFe=0 ; k=1 ; i1=0
  do while (elpatch(j,k) .ne. 0) ! tiap elemen anggota patch
    call geohookean1(x,d,mr(np(33)),elpatch(j,k),xl)
    call Patching(xl,kj,hr(up(3)),hr(up(4)),elpatch(j,k)
&           ,hr(up(17)),xx,yy) ! hitung koord titik Gauss
    He=0 ; Fe=0
    do m=1,4 ! tiap titik Gauss
      ...
      ...
    end do
    ...
```

```

...
k=k+1
end do      ! elemen anggota patch
...
end do  ! i
endif
end do      ! j

```

PENJELASAN :

Selanjutnya dilakukan looping terhadap semua komponen gaya dalam. Setelah inisialisasi variabel-variabel, dilakukan looping terhadap semua elemen yang menjadi anggota patch. Di sini koordinat keempat nodal dalam elemen didapat dengan memanggil subrutin geohookean1. Subrutin tersebut juga menghitung parameter-parameter yang diperlukan dalam penyusunan matriks $[B_b]$ dan $[B_s]$ seperti yang sudah dijelaskan di depan. Output lain subrutin tersebut adalah variabel array xl yang kemudian menjadi input dalam menghitung koordinat titik Gauss dengan subrutin Patching. Koordinat titik Gauss tersebut diperlukan untuk menyusun matriks $[B_b]$ dan $[B_s]$ dan matriks $\langle P(\xi_k, \eta_k) \rangle$ yang merupakan komponen matriks $[D_e]$.

KODE FORTRAN :

```

...
do j=1,nopatch      ! tiap patch
...
if (chknod .eq. 1) then      ! jika node ada dalam patch
...
do i=1,5 ! tiap komponen gaya dalam (Mx, My, Mxy, Txz, Tyz)
...
do while (elpatch(j,k) .ne. 0) ! tiap elemen anggota patch
...
do m=1,4 ! tiap titik Gauss
call
Cor(xx(m),yy(m),xmax(j),xmin(j),ymax(j),ymin(j),xw,yw)
call getP(Pe,xw,yw)
call getB(xw,yw,bb,bs,B)
i1(i,1)=detj ! li detj
He=He+matmul(matmul(transpose(B),i1),Pe)
! He=sum(Bt li P detj)
call getMih(vmx(m,elpatch(j,k)),vmy(m,elpatch(j,k))
,vmxy(m,elpatch(j,k)),Txz(m,elpatch(j,k))
,Tyz(m,elpatch(j,k)),i,Mih)
Fe=Fe+matmul(transpose(B),i1)*Mih ! Fe=sum(B li Mih detj)
end do
Hi=Hi+He ! Hi=sum(He)

```

```

Fi=Fi+Fe ! Fi=sum(Fe)
HtHe=HtHe+matmul(transpose(He),He)      ! sum(HtHe)
HtFe=HtFe+matmul(transpose(He),Fe)      ! sum(HtFe)
k=k+1
end do      ! elemen anggota patch
HtHi=matmul(transpose(Hi),Hi)
HtFi=matmul(transpose(Hi),Fi)
HtHi=HtHi+HtHe    ! HtHi + sum(HtHe)
HtFi=HtFi+HtFe    ! HtFi + sum(HtFe)
call dlinrg(8,HtHi,8,iHtH,8)
a=matmul(iHtH,HtFi)
mmm=matmul(P,a)
Mm(i)=Mm(i)+mmm(1,1)
end do ! i
endif
end do ! j
do i=1,3 ; scm(i)=Mm(i)/qkj
end do
do i=1,2 ; sct(i)=Mm(i+3)/qkj
end do
return

```

PENJELASAN :

Langkah berikutnya adalah looping pada semua titik Gauss. Dalam looping ini, pertama dihitung koordinat natural patch dari tiap titik Gauss. Koordinat natural tersebut merupakan input bagi penyusunan matriks $\langle P(\xi_k, \eta_k) \rangle$ dan matriks $[B]$. Dengan diperolehnya matriks $\langle P(\xi_k, \eta_k) \rangle$ dan matriks $[B_b]$, selanjutnya dapat dihitung matriks $[D_e]$ dan matriks $\{F_e^h\}$. Matriks $[D_e]$ dan $\{F_e^h\}$ tersebut diakumulasikan untuk semua titik Gauss dalam satu elemen. Kemudian, matriks tersebut juga diakumulasikan untuk semua elemen dalam patch untuk membentuk matriks $[D]$ dan $\{F^h\}$. Setelah lengkap looping dalam semua elemen patch, matriks $\{a_n\}$ bisa dihitung, dan selanjutnya matriks $\{M\}$ dan $\{T\}$ bisa dihitung. Matriks $\{M\}$ dan $\{T\}$ tersebut diakumulasi untuk semua patch dan elemen yang mengandung nodal yang sedang ditinjau, untuk kemudian dibagi dengan jumlah overlapping yang terjadi.

```

subrutin NoForDKMQ_3 (x,d,u,np,ix,ndm,nel,dt,
sigproj)

```

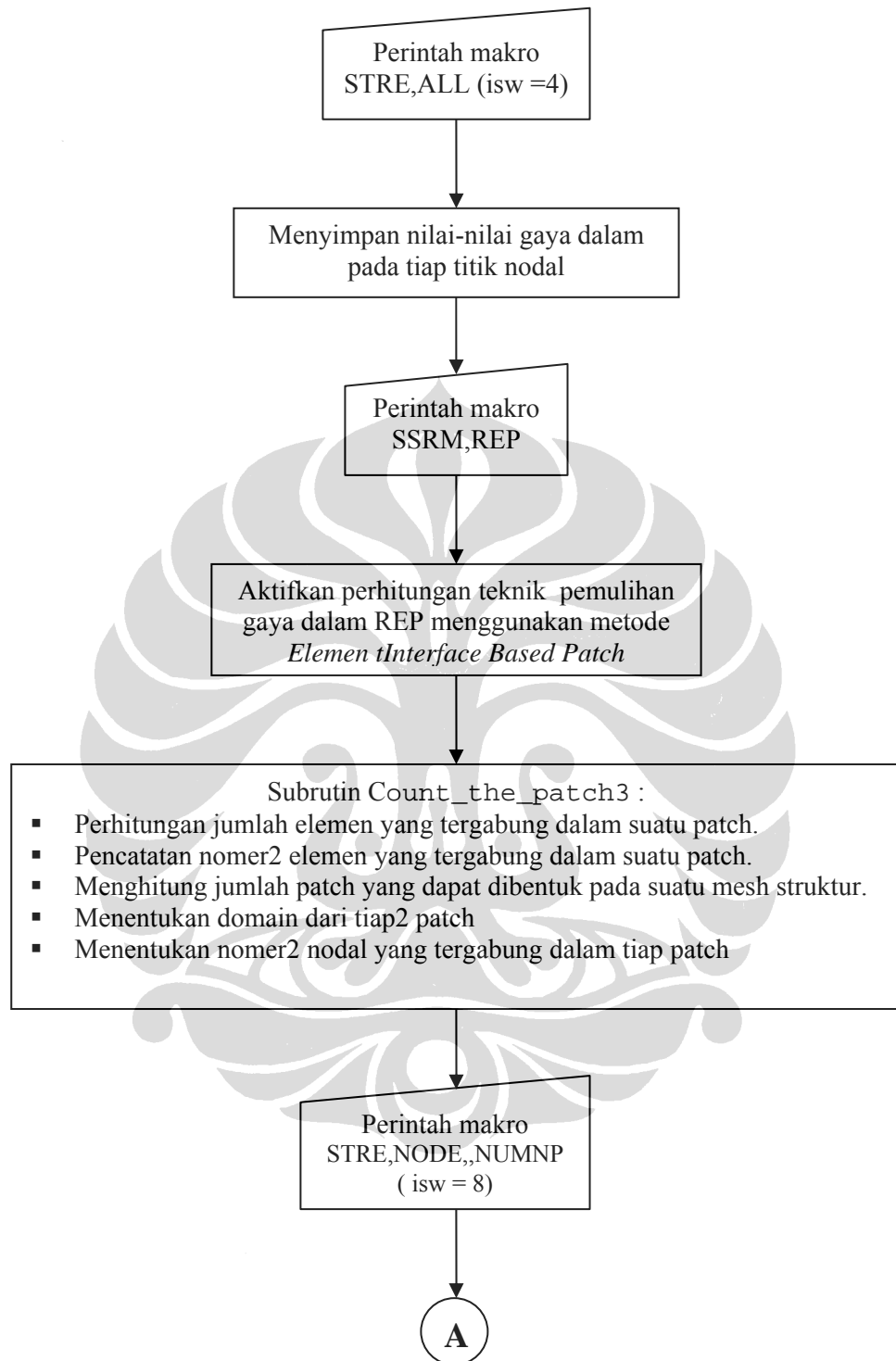
Subrutin ini termasuk di dalam subrutin elemen DKMQ [K2] yang berfungsi untuk menyimpan nilai gaya dalam nodal berdasarkan metode REP. Jadi dalam subrutin ini akan selalu dipanggil subrutin REP_Recovery. Subrutin ini juga subrutin yang dipakai dalam metode SPR oleh peneliti terdahulu. Penulis memilih untuk tidak membentuk subrutin baru (NoForDKMQ_4 misalnya) karena semua langkah dalam subrutin tersebut dipakai dalam metoda REP. Penulis hanya memodifikasi dengan menambah *select case condition* untuk menjalankan subrutin REP_Recovery.

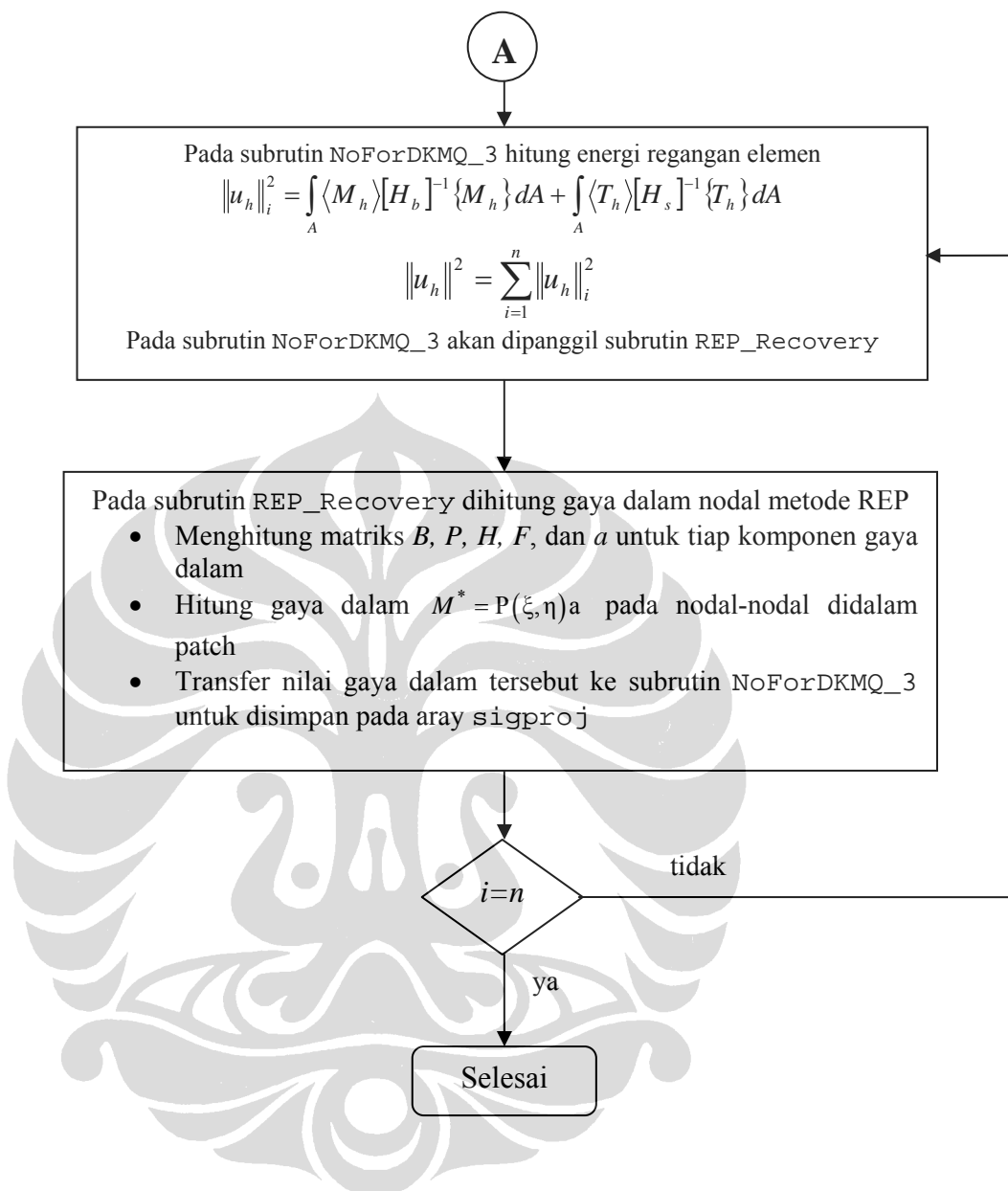
KODE FORTRAN :

```

do 8000 j=1,4
  k=abs(ix(j))
  if(k.gt.0) then
    if(sigproj(k,1) .ne. 0.0) then
      goto 8000
    else
      Recovery_method: select case (ES)
        case (2)
          call SCPR_Recovery(hr(np(43)),ix,hr(up(17)),hr(up(7))
          ,hr(up(8)),hr(up(9)),hr(up(10)),hr(up(11)),mr(up(19))
          ,& mr(up(2)),hr(up(12)),k,mr(up(24)),mr(up(25)),mr(up(26))
          ,& mr(up(27)),hr(up(20)),hr(up(21)),hr(up(22)),hr(up(23))
          ,scm,sct)
        case (3)
          call
REP_Recovery(hr(np(43)),d,hr(up(7)),hr(up(8)),hr(up(9))
          ,hr(up(10)),hr(up(11)),k,mr(up(24)),mr(up(25)),mr(up(27))
          ,hr(up(20)),hr(up(21)),hr(up(22)),hr(up(23)),scm,sct)
        case (4)
          reserved for Recovery by Compatibility of Patches
        end select Recovery_method
        dt(k)=1.0
        sigproj(k,1)=scm(1)
        sigproj(k,4)=scm(3)
        sigproj(k,3) =0.d0
        sigproj(k,2)=scm(2)
        sigproj(k,5)=sct(2)
        sigproj(k,6)=sct(1)
      endif
    endif
  8000 continue

```

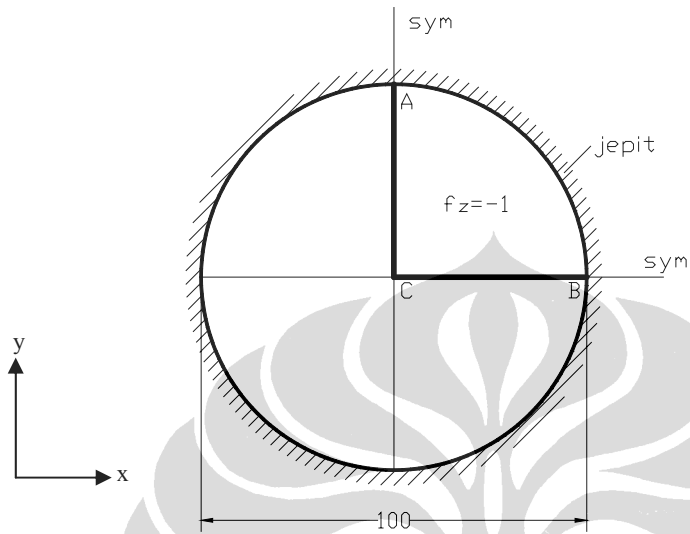




Gambar 3. 2 Diagram alir perhitungan gaya dalam dan energi regangan elemen dengan menggunakan metode REP pada UI-FEAP

3.2.3 Contoh Data Input Analisa Metode REP dan Error Estimasi

Struktur pelat yang akan dianalisis :



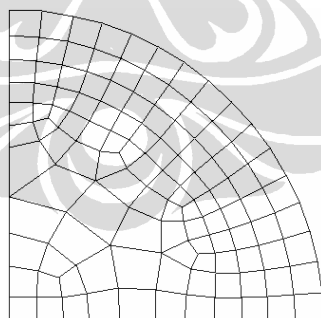
Data :
 $E = 1000$; $\nu = 0,3$
 $R = 50$
 Beban terbagi rata : $f_z = -1$

Kondisi batas :
 Jepit : $w = \beta_x = \beta_y = 0$

Kondisi simetri:
 Sisi $CB = \beta_y = 0$
 Sisi $CA = \beta_x = 0$

Gambar 3. 3 Contoh analisa struktur Lingkaran dengan UI-FEAP

Pelat tersebut dianalisa $\frac{1}{4}$ bagian saja dan dimodelisasi dengan mesh adaptif 110 elemen sebagai berikut :



Gambar 3. 4 Mesh Adaptif

File data input adalah sebagai berikut :

```

UI-FEAP**
130,110,1,2,3,4

mate,1
user 4
DKMQ rep ibp
quadrature 2 2
elas isot 1000 0.3
thickness data 1
load data -1

coord
1      0       60      10
2      0       10      60
.
.
129    0       10      55.89663189
130    0       33.67090302  54.04189313

bound
1      0       1       1       1
2      0       1       1       1
3      0       1       1       1
4      0       1       1       1
5      0       1       1       1
6      0       0       1       1
7      0       0       1       0
8      0       0       1       0
9      0       0       1       0
10     0       0       0       1
11     0       0       0       1
12     0       0       0       1
37     0       1       1       1
38     0       0       0       1
39     0       1       1       1
40     0       0       0       1
41     0       0       1       0
1      0       1       1       1
43     0       0       1       0
44     0       1       1       1
113    0       0       0       1
114    0       0       0       1
115    0       1       1       1
116    0       1       1       1
117    0       0       0       1
118    0       0       0       1
119    0       0       1       0
120    0       0       1       0
121    0       1       1       1
122    0       1       1       1
123    0       1       1       1
124    0       0       0       1
125    0       1       1       1
126    0       0       1       0
127    0       0       1       0
128    0       1       1       1
129    0       0       1       0
130    0       1       1       1

```

```

elem
1      0      1      112      110      17      83
2      0      1      110      111      74      17
.
.
.
109     0      1      35       89      87      26
110     0      1      111      88      89      35

end
interactive
stop

```

3.2.4 Contoh Data Output

File data output adalah sebagai berikut :

UI-FEAP**

Solution date: Sun Feb 18 11:13:31 2007

UNIX/PC 7.1b
- 12/15/98 -

Input Data Filename: IADLJPT3.TXT

Number of Nodal Points - - - - - : 130
 Number of Elements - - - - - - - : 110
 Spatial Dimension of Mesh - - - - - : 2
 Degrees-of-Freedom/Node (Maximum) - - : 3
 Number Element Nodes (Maximum) - - : 4
 Number of Material Sets - - - - - : 1
 Number Parameters/Set (Program) - - : 200
 Number Parameters/Set (Users) - - : 50

UI-FEAP**

M a t e r i a l P r o p e r t i e s

Material Set 1 for User Element Type 4

| Degree of Freedom Assignments | Local Number | Global Number |
|-------------------------------|--------------|---------------|
| 1 | 1 | |
| 2 | 2 | |
| 3 | 3 | |

U s e r 4: P l a t e B e n d i n g

M e c h a n i c a l P r o p e r t i e s

Plate & Shell Analysis

| | |
|---------------|-------------|
| Modulus E | 1.00000E+03 |
| Poisson ratio | 3.00000E-01 |

```

Thickness      1.00000E+00
Loading - q   -1.00000E+00
Thickness      1.00000E+00
Loading - q   -1.00000E+00
Density        0.00000E+00

1-Gravity     0.00000E+00
2-gravity     0.00000E+00
3-gravity     0.00000E+00

Formulation : Small deformation.
Plate/Shell : Kappa    8.33333E-01

Material density is zero.
=====
DISCRETE KIRCHHOFF MINDLIN PLATE BENDING
=====
modulus Young E = 0.10000E+04
poisson ratio p = 0.30000
thickness h     = 0.10000E+01
massa jenis     = 0.00000E+00
mass option      = 3
distr.load fz   =-0.10000E+01
kind of fz       = 1
output option    = 0
smoothed forces = 3 Recovery by Equilibrium in Patches (REP)
patch type       = Element Interface Based Patch

UI-FEAP**
Nodal Coordinates
node 1 Coord 2 Coord
1 6.000E+01 1.000E+01
2 1.000E+01 6.000E+01
3 5.613E+01 2.928E+01
4 4.536E+01 4.536E+01
.
.
.
127 1.000E+01 4.848E+01
128 1.520E+01 5.973E+01
129 1.000E+01 5.590E+01
130 3.367E+01 5.404E+01

UI-FEAP**
N o d a l   B. C.

Node 1-b.c. 2-b.c. 3-b.c.
1      1      1      1
2      1      1      1
3      1      1      1
.
.
.
11     0      0      1
12     0      0      1
.
.
```

```

119      0      1      0
120      0      1      0

```

UI-FEAP**

E l e m e n t s

| Elmt | Mat | Reg | 1 Node | 2 Node | 3 Node | 4 Node |
|------|-----|-----|--------|--------|--------|--------|
| 1 | 1 | 0 | 112 | 110 | 17 | 83 |
| 2 | 1 | 0 | 110 | 111 | 74 | 17 |
| 3 | 1 | 0 | 109 | 107 | 12 | 113 |
| . | | | | | | |
| . | | | | | | |
| 107 | 1 | 0 | 87 | 105 | 27 | 26 |
| 108 | 1 | 0 | 35 | 30 | 74 | 111 |
| 109 | 1 | 0 | 35 | 89 | 87 | 26 |
| 110 | 1 | 0 | 111 | 88 | 89 | 35 |

P a r t i t i o n 1

E q u a t i o n / P r o b l e m S u m m a r y:

| | | | |
|-------------------------|------------|--------------------|-----|
| Space dimension (ndm) = | 2 | Number dof (ndf) = | 3 |
| Number of equations = | 317 | Number nodes = | 130 |
| Average col. height = | 127 | Number elements = | 110 |
| Number profile terms = | 40107 | Number materials = | 1 |
| Number rigid bodies = | 0 | Number joints = | 0 |
| Est. factor time-sec = | 5.9917E-02 | | |

| Terms | Material | Element Tag | Element Type | History Terms | Element |
|-------|----------|-------------|--------------|---------------|---------|
| | 1 | 1 | 4 | 0 | 12 |

*Macro 1 * tang v: 1.00 0.00 0.00 t= 4.81

0.00 Residual norm = 1.9193508E+02 1.0000000E+00 t= 5.10

0.00 Condition check: D-max 0.5944E+03; D-min 0.1659E+01; Ratio 0.3582E+03

Maximum no. diagonal digits lost: 2 End Triangular Decomposition t= 5.38

0.00 Number of operations = 668973 plus 6 Mega-ops

Time: CPU = 5.46 , System = 0.00

--> SOLVE AT 30.31 Mflops. Time= 0.22

Energy convergence test

Maximum = 6.969734190955363E+05 Current =

6.969734190955363E+05 Relative = 1.000000000000000E-

16

*Macro 1 * disp ALL v: 0.00 0.00 0.00 t= 11.62

0.00

UI-FEAP**

N o d a l D i s p l a c e m e n t s Time 0.00000E+00

```

Prop. Ld. 1.00000E+00

Node    1 Coord      2 Coord      1 Displ      2 Displ      3 Displ
 1 6.0000E+01 1.0000E+01 0.0000E+00 0.0000E+00 0.0000E+00
 2 1.0000E+01 6.0000E+01 0.0000E+00 0.0000E+00 0.0000E+00
 3 5.6132E+01 2.9283E+01 0.0000E+00 0.0000E+00 0.0000E+00
 4 4.5355E+01 4.5355E+01 0.0000E+00 0.0000E+00 0.0000E+00
.
.
126 1.0000E+01 4.1581E+01 -3.8499E+02 0.0000E+00 -3.2240E+01
127 1.0000E+01 4.8481E+01 -1.7758E+02 0.0000E+00 -2.6669E+01
128 1.5201E+01 5.9729E+01 0.0000E+00 0.0000E+00 0.0000E+00
129 1.0000E+01 5.5897E+01 -2.6688E+01 0.0000E+00 -1.2307E+01
130 3.3671E+01 5.401E+01 0.0000E+00 0.0000E+00 0.0000E+00

*Macro 1 * stre ALL v: 0.00 0.00 0.00
t= 25.94
0.00

UI-FEAP**
FORCES ON GAUSS POINTS OF ELEMENT
=====
ELMT   X       Y       Mx       My       Mxy      Txz      Tyz
1  43.330  27.373 0.6397E+02 - .941E+01 0.4905E+02 0.1311E+02 0.6977E+01
1  41.603  26.694 0.3625E+02 - .2721E+02 0.413E+02 0.1314E+02 0.6911E+01
1  1.248  24.970 0.3603E+02 - .3224E+02 0.196E+02 0.1303E+02 0.6871E+01
1  44.089  25.552 0.6478E+02 - .1417E+02 0.4751E+02 0.1301E+02 0.6934E+01
2  40.324  26.279 0.1956E+02 - .3874E+02 0.4124E+02 0.1204E+02 0.6214E+01
2  38.558  25.822 - .6041E+01 - .5435E+02 0.381E+02 0.1221E+02 0.5546E+01
2  39.017  24.045 - .5057E+01 - .5927E+02 0.3707E+02 0.1063E+02 0.5139E+01
2  40.889  24.566 0.1899E+02 - .4415E+02 0.3980E+02 0.1048E+02 0.5699E+01
3  45.998  13.278 0.6660E+02 - .4553E+02 0.8356E+01 0.1358E+02 0.1001E+01
3  43.559  13.302 0.3032E+02 - .6608E+02 0.831E+01 0.1358E+02 0.1022E+01
3  43.530  10.885 0.2898E+02 - .6897E+02 0.4578E+01 0.1347E+02 0.1023E+01
3  46.017  10.878 0.6579E+02 - .4780E+02 0.4662E+01 0.1347E+02 0.1000E+01
.
.
108 34.905  25.413 - .5032E+02 - .7807E+02 0.3361E+02 0.1103E+02 0.6588E+01
108 35.077  22.679 - .5748E+02 - .9637E+02 0.3072E+02 0.8764E+01 0.6446E+01
108 37.459  23.539 - .2832E+02 - .7455E+02 0.3385E+02 0.9191E+01 0.5263E+01
108 306  25.590 - .2322E+02 - .6390E+02 0.3578E+02 0.1111E+02 0.5593E+01
109 33.299  27.561 - .5236E+02 - .7709E+02 0.3430E+02 0.1001E+02 0.7893E+01
109 34.158  29.469 - .3811E+02 - .5492E+02 0.3993E+02 0.8656E+01 0.8505E+01
109 32.023  30.700 - .4917E+02 - .5809E+02 0.4048E+02 0.7887E+01 0.7172E+01
109 30.576  28.738 - .7268E+02 - .8414E+02 0.3606E+02 0.9264E+01 0.6156E+01
110 36.972  26.862 - .2026E+02 - .6190E+02 0.4055E+02 0.1189E+02 0.8881E+01
110 36.959  28.287 - .1449E+02 - .4792E+02 0.4326E+02 0.1127E+02 0.8875E+01
110 35.480  28.822 - .2938E+02 - .510E+02 0.4334E+02 0.1113E+02 0.8492E+01
110 35.013  27.059 - .4561E+02 - .7607E+02 0.3914E+02 0.1183E+02 0.8304E+01
*Macro 1 * ssrm REP v: 0.00 0.00 0.00

```

P A T C H P R O P E R T I E S

Patch type: Element Interface Based Patch 1

Patch Elements on patch

| | | | | | |
|-----|----|-----|-----|------|-----|
| 1 | 1 | 2 | 38 | 40 | 68 |
| 2 | 1 | 2 | 41 | 77 | 108 |
| 3 | 3 | 4 | 1 | 44 | |
| 4 | 3 | 4 | 45 | 103. | |
| . | | | | | |
| 107 | 6 | 105 | 106 | 107 | 109 |
| 108 | 2 | 32 | 33 | 108 | 110 |
| 109 | 32 | 67 | 107 | 109 | 110 |
| 110 | 15 | 41 | 108 | 109 | 110 |

Element Making up The Patches

| element | element number in patch |
|---------|---|
| 1 | 1, 38, 39, 40, 2, 41, 68, 77, 69, |
| 2 | 1, 2, 38, 41, 108, 110, 33, 77, 68, |
| 3 | 3, 1, 43, 44, 4, 45, |
| . | |
| . | |
| 107 | 6, 67, 107, 109, 47, 105, 28, 104, 106, 32, |
| 108 | 32, 108, 109, 110, 31, 33, 34, 2, 77, 41, |
| 109 | 32, 108, 109, 110, 15, 67, 6, 107, 106, |
| 110 | 2, 41, 108, 110, 15, 67, 109, 32, |

--> P A T C H P R O P E R T I E S <--

Number of Patch 110

| patch | elements on patch |
|-------|---|
| 1 | 1, 38, 39, 40, 2, 41, 68, 77, 69, |
| 2 | 1, 2, 38, 41, 108, 110, 33, 77, 68, |
| 3 | 3, 1, 43, 44, 4, 45, |
| 4 | 3, 4, 1, 45, 31, 103, |
| . | |
| . | |
| 107 | 6, 67, 107, 109, 47, 105, 28, 104, 106, 32, |
| 108 | 32, 108, 109, 110, 31, 33, 34, 2, 77, 41, |
| 109 | 32, 108, 109, 110, 15, 67, 6, 107, 106, |
| 110 | 2, 41, 108, 110, 15, 67, 109, 32, |

Domain of Every Patch

| patch | x_max | x_min | y_max | y_min |
|-------|---------|---------|---------|--------|
| 1 | 49.727, | 37.431, | 33.192, | 21.056 |
| 2 | 46.095, | 34.061, | 31.298, | 18.743 |
| 3 | 51.228, | 37.914, | 18.743, | 10.000 |
| 4 | 46.940, | 33.148, | 21.272, | 10.000 |
| . | | | | |
| . | | | | |
| . | | | | |

```

107      374, 10.000, 39.254, 21.272
108      1.763, 26.086, 31.876, 14.586
109      39.360, 19.067, 37.059, 21.272
110      41.795, 26.086, 34.436, 21.272

N o d e s   o n   E v e r y   P a t c h

n o d e
112,110, 17, 83,100, 34, 36, 91, 32,111, 74, 88, 73, 85, 76, 81,- - >
belong to patch 1
112,110, 17, 83,111, 74,100, 34, 88, 35, 30, 89, 75, 76, 73, 85,- - >
belong to patch 2
109,107, 12,113, 84, 29, 33, 78, 38,108,114, 75,- - >
belong to patch 3
109,107, 12,113,108,114, 84, 29, 75, 30, 31, 40,- - >
belong to patch 4
.
.
.
105, 87, 14, 55, 89, 86, 27, 26, 35, 69, 20, 70, 25, 8, 15, 68, 46, 30,- - > belong
to patch107
46, 30, 35, 26, 74,111, 89, 87, 88, 75, 31,108, 76, 16,110, 17, 73, 34,- - > belong
to patch108
46, 30, 35, 26, 74,111, 89, 87, 88, 86, 34, 14,105, 55, 27, 15,- - >
belong to patch109
110,111, 74, 17, 34, 88, 35, 30, 89, 86, 14, 87, 26, 46,- - >
belong to patch110

*Macro 1 * stre NODE           v: 0.00      130.      0.00
0.00                         t= 3.73

UI-FEAP**

F o r c e s   o n   N o d e s   a f t e r   R e c o v e r y

Node 1-Pr.Value 2-Pr.Value 3-Pr.Value 1-Pr.Angle
     I_1 Value    J_2 Value    J_3 Value
     1 Value      2 Value      3 Value      4 Value      5 Value      6 Value

1  3.1359E+02  9.3497E+01  0.0000E+00  7.7256E-01
   1.3569E+02  1.6100E+02  7.0625E+05
   3.1355E+02  9.3537E+01  0.0000E+00  2.9673E+00 -6.8629E-01  1.9630E+01

2  3.1372E+02  9.3215E+01  0.0000E+00  8.9157E+01
   1.3564E+02  1.6110E+02  7.1059E+05
   9.3263E+01  3.1367E+02  0.0000E+00  3.2445E+00  2.061E+01 -7.521E-01

3  3.1485E+02  9.3792E+01  0.0000E+00  2.2843E+01
   1.3621E+02  1.6165E+02  7.1569E+05
   2.8153E+02  1.2711E+02  0.0000E+00  7.9086E+01  7.6269E+00  1.8254E+01

4  3.1393E+02  9.4690E+01  0.0000E+00  4.4955E+01
   1.3621E+02  1.6103E+02  6.9685E+05
   2.0449E+02  2.0414E+02  0.0000E+00  1.0962E+02  1.4070E+01  1.3683E+01
.
.
.
127  1.0232E+02 -2.6003E+01  0.0000E+00  8.9336E+01
   2.5439E+01  6.7838E+01  6.9759E+04
   -2.5985E+01  1.0230E+02  0.0000E+00  1.4881E+00  1.5477E+01  7.2721E-01

128  3.1394E+02  9.115E+01  0.0000E+00  8.3848E+01
   1.3605E+02  1.6110E+02  7.0209E+05
   9.6739E+01  3.111E+02  0.0000E+00  2.3411E+01  2.0272E+01  2.1285E+00

```

```

129  2.3188E+02  4.7103E+01  0.0000E+00  8.9254E+01
      9.2993E+01  1.2256E+02  4.1093E+05
      4.7135E+01  2.3184E+02  0.0000E+00  2.4040E+00  1.8002E+01 -8.1309E-01

130  3.1332E+02  9.3571E+01  0.0000E+00  6.1534E+01
      1.3563E+02  1.6084E+02  7.0277E+05
      1.4349E+02  2.6339E+02  0.0000E+00  9.2075E+01  1.7083E+01  9.6283E+00
*Macro  1 * ssrm UI           v:  0.00      0.00      0.00
                                         t=    7.55
0.00
      Mesh  R e f i n e m e n t s   f o r   5 %   E r r o r
      elmt  Energy Norm Error      psi
      1      0.77877E+00          0.22173
      2      0.69091E+00          0.20885
      3      0.87588E+01          0.74360
      .
      .
      106     0.18048E+02          1.06741
      107     0.73620E+01          0.68174
      108     0.39817E+01          0.50137
      109     0.32923E+01          0.45590
      110     0.21150E+01          0.36540

      Allowable Element Energy Norm Error      = 0.39799881E+01
      Twice of Global Finite Element Strain Energy = 0.6969731E+06
      Predicted Global Energy Norm Error        = 0.72748499E+03
      Predicted Relative Global Energy Norm Error (%) = 3.229

*End of Macro Execution*                                t=    2.65      0.00

```